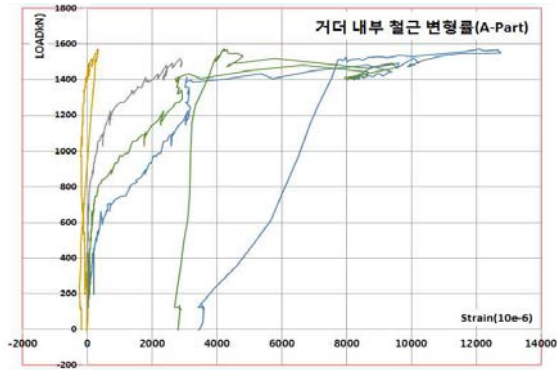
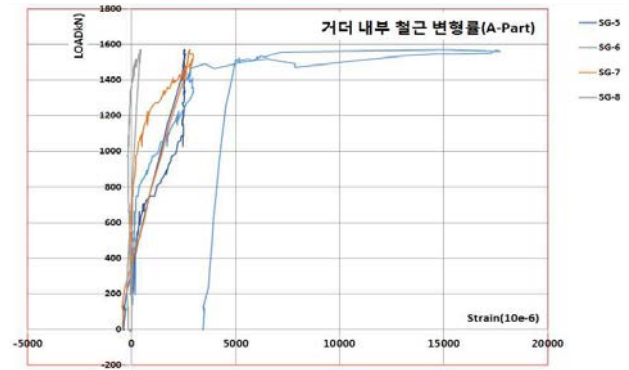


열로 부착된 높이에 따라 Top, Bottom으로 분류하였다. 슬래브 내부 철근에 발생하는 변형률은 내부 철근의 높이가 높을수록 큰 압축 변형률이 발생하였다. 반면, 실험체의 최대 하중에 도달할 때 까지 철근은 항복 하지 않았다.

(나) 거더 내부 철근 변형률 (SG-1~SG-8)



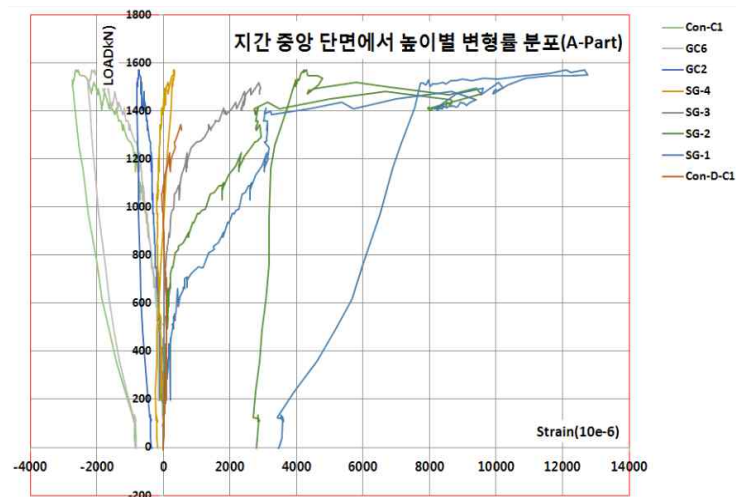
[그림 3.6.27] 거더 내부 철근 변형률(SG-1~SG-4)



[그림 3.6.28] 거더 내부 철근 변형률(SG-5~SG-8)

실물 실험체의 재하 된 하중과 지간 중앙부 거더의 내부 철근에서 부착된 철근 변형률을 [그림 3.6.27]과 [그림 3.6.28]에 나타내었다. 거더 내부 철근의 높이에 따라 변형률 게이지를 부착하였으며, 부착된 높이에 따라 변형률은 비례적으로 분포하였다.

(다) 지간 중앙 단면에서 슬래브 및 거더의 높이별 변형률 분포



[그림 3.6.29] 지간 중앙 단면에서 높이 별 변형률 분포

실물 모형 실험체에 재하 된 하중과 지간 중앙부 슬래브 및 거더에 부착된 변형률 게이지를 [그림 3.6.29]에 정리하였다. 거더에 삽입된 Tendon의 포스트 텐션 영향 변형률 게이지 SG-4의 위치(거더 상부 플랜지)가 단면 중립축이 위치하는 것으로 판단되며, 센서 SG-4보다 높은 단면의 철근에서는 압축 변형률이 발생하였으며, 센서 SG-4보다 낮은 단면의 철근에서는 인장 변형률이 발생하였다.